

УДК 548 : 537.611.45

К ТЕОРИИ ЗОННОГО АНТИФЕРРОМАГНЕТИЗМА В СИСТЕМЕ ВОЛНЫ ЗАРЯДОВОЙ ПЛОТНОСТИ

E. A. Баранник

В приближении самосогласованного поля рассмотрено антиферромагнитное состояние системы с коллективизированными магнитными электронами, возникающее при наложении соизмеримых волн зарядовой (ВЗП) и спиновой (ВСП) плотности. С учетом всех магнитных степеней свободы системы получено высокотемпературное разложение функционала свободной энергии. Исследуется фазовая диаграмма и обсуждается возможность применения рассмотренной модели к описанию антиферромагнитных свойств фаз Магнелли $V_n O_{2n-1}$ ($2 < n \leq 9$).

Теории основного состояния и коллективных возбуждений антиферромагнетиков с достаточно широкой частично заполненной зоной магнитных электронов (случай коллективизированных магнитных электронов) посвящено большое число работ (см. обзоры [1-4]). Обилие теоретических подходов и моделей обусловлено прежде всего различием микроскопических механизмов магнитного упорядочения в реальных антиферромагнетиках, которые лишь на макроскопическом уровне, например в терминах свободной энергии, приводят к близким картинам. Выбор же конкретной модели для описания магнитных свойств того или иного антиферромагнетика определяется, как отмечалось в [1], особенностями его зонной структуры.

В настоящее время наиболее популярны модель антиферромагнетика с пространственной структурой ВСП [1, 5, 6] и модель двухзонного антиферромагнетизма [3, 4, 7, 8]. Последняя представляет собой непосредственное обобщение теории Стонера (см. [9]) на случай антиферромагнитного упорядочения и пригодна для описания магнетиков с двумя компонентами (зонами) фермиевской жидкости магнитных электронов. В частности, если уровень Ферми проходит через e_g -зону переходного 3d-металла с кубической симметрией, то компонентами фермиевской жидкости магнитных электронов являются подзоны двукратновырожденной e_g -зоны, а антиферромагнитное состояние появляется в результате магнитного расщепления Δ_A одноэлектронного спектра, при котором парциальные спонтанные намагниченности компонент m_1 и m_2 равны по величине и противоположны по направлению [7, 8].

Магнитная структура типа ВСП реализуется, как известно, в металлах, топология многосвязной поверхности Ферми которых характеризуется наличием электронного и дырочного участков, совмещающихся при параллельном переносе на некоторый вектор q . ВСП возникает из-за тривиального спаривания одночастичных возбуждений этих участков. Картина несколько усложняется [10-12], если ВСП накладывается на уже имеющуюся в системе ВЗП, обусловленную синглетным спариванием электронных и дырочных состояний. Сосуществующие однофазные соизмеримые ВСП и ВЗП индуцируют дополнительное магнитное расщепление Δ_F спектра одночастичных возбуждений, в результате чего появляется магнитный момент m единицы объема кристалла — так называемый «экспонитонный ферромагнетизм» [10]. Как будет показано ниже,

парциальные индуцированные намагниченности, отвечающие электронному и дырочному участкам поверхности Ферми, в общем случае оказываются различными и, следовательно, макроскопическое состояние системы характеризуется не только вектором $\mathbf{m} = \mathbf{m}_1 + \mathbf{m}_2$, но и отличным от нуля вектором «экситонного антиферромагнетизма» $\mathbf{l} = \mathbf{m}_1 - \mathbf{m}_2$. Иными словами, если под компонентами фермьевской жидкости понимать одночастичные возбуждения электронной и дырочной поверхностей, то при $\mathbf{m}_1 \neq \mathbf{m}_2$ можно говорить о появлении в системе дополнительно к ВСП двухзонного антиферромагнетизма.

Модель состояния с существующими ВЗП и ВСП, которым отвечают синглетный и триплетный параметры порядка Δ_s и Δ_t , применялась для объяснения антиферромагнетизма окислов ванадия $V_n O_{2n-1}$ [13, 14], в которых антиферромагнитное превращение происходит на фоне уже имеющейся ВЗП. В этой связи представляет интерес выяснение условий, при которых возможно с учетом возникающего двухзонного антиферромагнетизма существование соизмеримых с постоянной решетки ВСП и ВЗП.

1. Уравнения самосогласования

При выводе самосогласованных уравнений параметров порядка удобно перейти к представлению Намбу, в котором для локальной плотности магнитного момента справедливо выражение

$$\mathbf{m}(\mathbf{r}) = -\mu_B \sum_{\mathbf{p}} \Phi_{\mathbf{p}, \mathbf{q}}^{\alpha' \beta'}(\mathbf{r}) \sigma_{\alpha \beta} F_{\beta \alpha}^{\beta' \alpha'}(\mathbf{p}), \quad (1)$$

где изотопические индексы α' , β' нумеруют компоненты и принимают значения 1 и 2; μ_B — магнетон Бора; σ — спиновые матрицы Паули. Величины $\Phi_{\mathbf{p}, \mathbf{q}}(\mathbf{r})$ и $\sigma_{\alpha \beta} F_{\beta \alpha}(\mathbf{p})$ являются матрицами в изотопическом пространстве [3]

$$\begin{aligned} \Phi_{\mathbf{p}, \mathbf{q}}(\mathbf{r}) = & \frac{1 + \tau_3}{2} |u_{1\mathbf{p}}(\mathbf{r})|^2 + \frac{1 - \tau_3}{2} |u_{2\mathbf{p}}(\mathbf{r})|^2 + \\ & + \frac{\tau_+}{2} u_{1\mathbf{p}}^*(\mathbf{r}) u_{2\mathbf{p}}(\mathbf{r}) e^{i\mathbf{qr}} + \frac{\tau_-}{2} u_{1\mathbf{p}}(\mathbf{r}) u_{2\mathbf{p}}^*(\mathbf{r}) e^{-i\mathbf{qr}}, \end{aligned} \quad (2)$$

$$\sigma_{\alpha \beta} F_{\beta \alpha} = \{^{1/2}(n_1 + n_2) + ^{1/2}(n_1 - n_2)\tau_3 + \bar{n}(\mathbf{R}_\gamma \tau)\} \mathbf{P}. \quad (3)$$

Здесь $\tau_\pm = \tau_1 \pm i\tau_2$, τ_3 — изотопические матрицы Паули; $u_{1\mathbf{p}}(\mathbf{r})$ и $u_{2\mathbf{p}}(\mathbf{r})$ — модулирующие блоховские функции возбуждений электронного и дырочного участков; \mathbf{P} — вектор спиновой поляризации; $\mathbf{R}_\gamma = (\cos \gamma, \sin \gamma, 0)$ — изовектор, определяющий гибридизацию электронных и дырочных состояний; $n_1(\mathbf{p})$, $n_2(\mathbf{p})$ и $\bar{n}(\mathbf{p}) e^{\pm i\gamma}$ — соответственно внутри- и межкомпонентные аномальные средние (по спину) рассматриваемого состояния. Выражение (3) является наиболее общим, исключающим из рассмотрения состояния с минимальной намагниченностью. Подставляя (2) и (3) в (1), находим

$$\begin{aligned} \mathbf{m}(\mathbf{r}) = & -\mu_B \mathbf{P} \sum_{\mathbf{p}} \left\{ \frac{1}{2}(n_1 + n_2) [|u_{1\mathbf{p}}(\mathbf{r})|^2 + |u_{2\mathbf{p}}(\mathbf{r})|^2] + \right. \\ & + \frac{1}{2}(n_1 - n_2) [|u_{1\mathbf{p}}(\mathbf{r})|^2 - |u_{2\mathbf{p}}(\mathbf{r})|^2] + 2\bar{n} \cos(\mathbf{qr} + \gamma) \operatorname{Re}[u_{1\mathbf{p}}(\mathbf{r}) u_{2\mathbf{p}}^*(\mathbf{r})] + \\ & \left. + 2\bar{n} \sin(\mathbf{qr} + \gamma) \operatorname{Im}[u_{1\mathbf{p}}(\mathbf{r}) u_{2\mathbf{p}}^*(\mathbf{r})] \right\}. \end{aligned} \quad (4)$$

Первые два члена в (4) описывают двухзенный ферро- и антиферромагнетизм системы. Параметр γ в третьем слагаемом определяет фазу возникающей ВСП. Замечая, что спаривающим оператором τ_1 и τ_2 отвечают, согласно (4), пространственные волны плотности, сдвинутые по фазе на $\pi/2$, представим одночастичную функцию Грина состояния с существующими однофазными ВСП и ВЗП в виде

$$\hat{G}(\mathbf{p}, \omega_n) = [i\omega_n + \delta\mu + \Delta_F(\mathbf{P}\sigma) - [\xi + \Delta_A(\mathbf{P}\sigma)]\tau_3 - [\Delta_s + \Delta_t(\mathbf{P}\sigma)](\mathbf{R}_\gamma\tau)]^{-1}, \quad (5)$$

где $\gamma=0$ или $\pi/2$; $\delta\mu$ — параметр неконгруэнтности электронной и дырочной поверхности, играющий роль химического потенциала; $\omega_n = \pi T (2n+1)$, $n=0, \pm 1, \dots$. В неупорядоченной фазе $\delta\mu = \delta\mu_0$, а полюсами гриновской функции для носителей с квадратичным законом дисперсии являются величины $\pm\xi - \delta\mu_0 = \pm(p^2 - p_F^2)/2m - \delta\mu_0$. В адекватности описания рассматриваемого состояния функцией Грина (5) несложно убедиться, сравнивая (3) со спиновой частью одночастичной матрицы плотности, получающейся из (5)

$$\hat{n} = \frac{1}{2}(n_+^F + n_-^F) + \frac{1}{2}\left(\frac{\xi_+}{\varepsilon_+}n_+ + \frac{\xi_-}{\varepsilon_-}n_-\right)\tau_3 + \frac{1}{2}\left(\frac{\Delta_+}{\varepsilon_+}n_+ + \frac{\Delta_-}{\varepsilon_-}n_-\right)(\mathbf{R}_\gamma\tau) + \\ + \left[\frac{1}{2}(n_+^F - n_-^F) + \frac{1}{2}\left(\frac{\xi_+}{\varepsilon_+}n_+ - \frac{\xi_-}{\varepsilon_-}n_-\right)\tau_3 + \frac{1}{2}\left(\frac{\Delta_+}{\varepsilon_+}n_+ - \frac{\Delta_-}{\varepsilon_-}n_-\right)(\mathbf{R}_\gamma\tau)\right](\mathbf{P}\sigma),$$

где

$$n_\pm^F = \frac{1}{2}[n(\varepsilon_\pm - \delta\mu_\pm) + n(-\varepsilon_\pm - \delta\mu_\pm)], \quad n_\pm = \frac{1}{2}[n(\varepsilon_\pm - \delta\mu_\pm) - n(-\varepsilon_\pm - \delta\mu_\pm)], \\ n(\varepsilon) = [1 + \exp(\varepsilon/T)]^{-1}.$$

Величины $\varepsilon_\pm = \sqrt{\xi_\pm^2 + \Delta_\pm^2} = \sqrt{(\xi \pm \Delta_A)^2 + (\Delta_s \pm \Delta_t)^2}$ и $\delta\mu_\pm = \delta\mu \pm \Delta_F$ характеризуют электронный спектр в упорядоченной фазе.

Применение τ -матричного формализма позволяет использовать для получения уравнений самосогласования уравнение Дайсона в его каноническом виде [15]

$$\hat{G}^{-1}(\mathbf{p}, \omega_n) = i\omega_n - \xi\tau_3 + \delta\mu_0 - T \sum_{\omega_m} \text{Sp}' \int \frac{d\mathbf{p}'}{(2\pi)^3} \hat{\Gamma}(\mathbf{p}, \mathbf{p}') \hat{G}(\mathbf{p}', \omega_m),$$

где след берется как по спиновым, так и по изотопическим индексам, поскольку вершинная функция затравочного взаимодействия электронов $\hat{\Gamma}(\mathbf{p}, \mathbf{p}')$ является матрицей в изотопическом пространстве [3]

$$\hat{\Gamma}(\mathbf{p}, \mathbf{p}') = \sum_{i=0}^3 [\theta_i(\mathbf{p}, \mathbf{p}') + \psi_i(\mathbf{p}, \mathbf{p}')(\sigma\sigma')] \tau_i \tau'_i \quad (6)$$

($\tau_0 \equiv 1$). Подставляя (5) и (6) в уравнение Дайсона, для $\gamma=0$ находим

$$\Delta_s = \Delta_s 2\theta_1 \int d\xi N(\xi) \left(\frac{n_+}{\varepsilon_+} + \frac{n_-}{\varepsilon_-} \right) + \Delta_t 2\theta_1 \int d\xi N(\xi) \left(\frac{n_+}{\varepsilon_+} - \frac{n_-}{\varepsilon_-} \right), \\ \Delta_t = \Delta_t 2\psi_1 \int d\xi N(\xi) \left(\frac{n_+}{\varepsilon_+} + \frac{n_-}{\varepsilon_-} \right) + \Delta_s 2\psi_1 \int d\xi N(\xi) \left(\frac{n_+}{\varepsilon_+} - \frac{n_-}{\varepsilon_-} \right), \\ \Delta_A = 2\psi_3 \int d\xi N(\xi) \left(\frac{\xi_+}{\varepsilon_+} n_+ - \frac{\xi_-}{\varepsilon_-} n_- \right), \quad \Delta_F = 2\psi_0 \int d\xi N(\xi) (n_+^F - n_-^F). \quad (7)$$

Здесь и в дальнейшем полагаем для простоты вершинную функцию затравочного взаимодействия независящей от импульсов одночастичных возбуждений. Полную систему самосогласованных уравнений для параметров порядка получаем, учитывая уравнение баланса числа частиц, аналогичное [16]

$$\int_{-\infty}^{\infty} d\xi N(\xi) [n_+^F + n_-^F - n(\xi - \delta\mu_0) - n(-\xi - \delta\mu_0)] + N_r(0)(\delta\mu - \delta\mu_0) = 0, \quad (8)$$

где $N(\xi)$ и $N_r(0)$ — энергетическая плотность числа состояний магнитных электронов и немагнитного резервуара.

2. «Экситонный антиферромагнетизм»

Средняя по кристаллу намагниченность отсутствует, если $\delta\mu_0=0$ [10, 11]. В этом случае без учета двухзонного антиферромагнетизма система самосогласованных уравнений нетривиальных решений не имеет, на основании чего в [10, 11] был сделан вывод о невозможности существования однофазных соизмеримых ВСП и ВЗП при полностью конгруэнтных электронной и дырочной поверхностях. В то же время полная система уравнений (7)–(8) допускает решение, при котором $\delta\mu=\Delta_F=0$, но $\Delta_s, \Delta_t, \Delta_A \neq 0$. Имея в виду индуцированный существующими ВЗП и ВСП параметр $\Delta_A \propto \Delta_s \Delta_t$, можно говорить о вырождении состояния «экситонного ферромагнетизма» в состояние «экситонного антиферромагнетизма». В пренебрежении различием пространственной зависимости модулирующих блоховских функций $u_{1p}(r)$ и $u_{2p}(r)$ реально возникающая в кристалле антиферромагнитная структура есть ВСП. В общем случае к ВСП, согласно (4), подмешивается неелевский подрешеточный антиферромагнитный порядок.

Функционал Ландау плотности свободной энергии, получающийся из (7)–(8) для состояния «экситонного антиферромагнетизма», имеет вид

$$F = \alpha_s \Delta_s^2 + \alpha_t \Delta_t^2 + \alpha_A \Delta_A^2 + \frac{\beta_1}{2} (\Delta_s^4 + \Delta_t^4) + \beta_2 \Delta_s^2 \Delta_t^2 + 2\beta_3 \Delta_s \Delta_t \Delta_A, \quad (9)$$

где

$$\alpha_A = -\frac{\pi^2}{6} \frac{N''(0)}{N(0)} (T^2 - T_A^2), \quad T_A^2 = -\frac{3}{2\pi^2} \frac{1 + 4\psi_3 N(0)}{\psi_3 N''(0)}, \quad \beta_3 = \frac{N'(0)}{N(0)} \ln \frac{2\gamma w}{\pi e T}, \quad (10)$$

а остальные коэффициенты даются выражениями [11]

$$\alpha_{s,t} = \alpha(T - T_{s,t}) = \frac{T_s - T_{s,t}}{T}, \quad 3\beta_1 = \beta_2 = \frac{3}{(\pi T^2)} \sum_{n=0}^{\infty} (2n+1)^{-3} = \frac{21\zeta(3)}{8(\pi T)^2}. \quad (11)$$

Здесь $N(0)=mp_F/2\pi^2$; штрих означает производную по ξ , взятую при $\xi=0$; w — масштаб обрезания кулоновского взаимодействия; $\zeta(x)$ — дзета-функция Римана; $\ln \gamma$ — постоянная Эйлера; $T_s > T_t$ — температуры фазовых превращений в состояние ВЗП (при $\Delta_t=0$) и ВСП (при $\Delta_s=0$) соответственно.

Уравнения для параметров порядка Δ_s, Δ_t и Δ_A вытекают из условия минимизации функционала свободной энергии (9). Ниже температуры магнитного фазового превращения T_N , когда отличны от нуля все три параметра, находим

$$\Delta_s^2 = \frac{\alpha_t (\beta_2 - \beta_3^2/\alpha_A) - \alpha_s \beta_1}{\beta_1^2 - (\beta_2 - \beta_3^2/\alpha_A)^2}, \quad \Delta_t^2 = \frac{\alpha_s (\beta_2 - \beta_3^2/\alpha_A) - \alpha_t \beta_1}{\beta_1^2 - (\beta_2 - \beta_3^2/\alpha_A)^2}, \quad (12)$$

$$\Delta_A = (-\beta_3/\alpha_A) \Delta_t \Delta_s. \quad (13)$$

Вводя зависящую от температуры величину

$$\Theta(T) = T_s - \frac{\beta_1}{\beta_1 - \beta_2 + \beta_3^2/\alpha_A} (T_s - T_t), \quad (14)$$

синглетный и триплетный параметры порядка можно представить в виде

$$\Delta_s^2 = \frac{\alpha_s + \alpha_t + \alpha(\Theta - T)}{\beta_1 + \beta_2 - \beta_3^2/\alpha_A}, \quad \Delta_t^2 = \frac{\alpha(\Theta - T)}{\beta_1 + \beta_2 - \beta_3^2/\alpha_A}. \quad (15)$$

Подставляя, наконец, соотношения (15) и (13) в (9), приходим к окончательному выражению для плотности свободной энергии вблизи точки магнитного фазового превращения

$$F = -\frac{\alpha^2}{2\beta_1} (T_s - T)^2 - \frac{\alpha^2}{2\beta_1} \frac{\beta_1 - \beta_2 + \beta_3^2/\alpha_A}{\beta_1 + \beta_2 - \beta_3^2/\alpha_A} (\Theta - T)^2. \quad (16)$$

Из выражения (16) следует, что антиферромагнитный фазовый переход термодинамически выгоден, если $\beta_1 > \beta_2 - \beta_3^2/\alpha_A$ при одновременном выполнении неравенства $\beta_1 > -\beta_2 + \beta_3^2/\alpha_A$, а также при $\beta_1 < \beta_2 - \beta_3^2/\alpha_A$ и $\beta_1 < -\beta_2 + \beta_3^2/\alpha_A$. Последняя система неравенств, однако, решений не имеет, поскольку, согласно (11), $\beta_1 + \beta_2 > \beta_2 - \beta_1$. В результате с учетом (10) и (11) появление «экситонного антиферромагнетизма» возможно в интервале температур

$$\frac{7\zeta(3)}{24} < -\frac{N'^2(0)}{N''(0)N(0)} \frac{T^2}{T^2 - T_A^2} \ln^2 \frac{2\gamma w}{\pi e T} < \frac{7\zeta(3)}{12}. \quad (17)$$

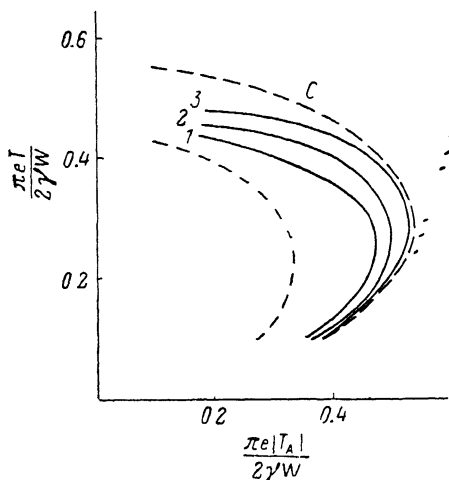
При этом ввиду $T_s > T_t$, величина $\Theta(T)$ оказывается меньше T_s , а для неотрицательности величины Δ_t^2 необходимо $\Theta(T) \geq T$.

Подчеркнем, что в пренебрежении вкладом в свободную энергию параметра порядка Δ_A ($\beta_3 = 0$) двойное неравенство (17) решений не имеет.

Искомый интервал температур определяется прежде всего величиной параметра T_A^2 и, следовательно, величиной антиферромагнитного обменного взаимодействия ψ_3 , которое

в терминах модели экситонного диэлектрика [8] равно $-(g_0 - g_2)/4$, где g_0 , g_2 — константы соответственно внутризонного взаимодействия электронов и межзонного с обменом электронами. Состояние ВЗП наиболее выгодно, как известно, при $g_2 < 0$, поэтому для носителей с квадратичным законом дисперсии

$$T_A^2 = \frac{6}{\pi^2} \left(\frac{P_F^2}{2m} \right)^2 \frac{1 + 4\psi_3 N(0)}{\psi_3 N(0)} < 0,$$



Фазовая диаграмма состояния «экситонного антиферромагнетизма».

если $1 + 4\psi_3 N(0) > 0$. На рисунке область температур, удовлетворяющая (17) при $T_A^2 < 0$, ограничена штриховыми линиями.

Температуру Нееля фазового перехода второго рода можно найти, очевидно, приравняв нулю разность $\Theta - T$

$$\frac{T_s - T_t}{T_s - T_{N_{II}}} \frac{7\zeta(3)}{48} + \frac{7\zeta(3)}{24} = -\frac{N'^2(0)}{N''(0)N(0)} \frac{T_{N_{II}}^2}{T_{N_{II}}^2 - T_A^2} \ln^2 \frac{2\gamma w}{\pi e T_{N_{II}}}. \quad (18)$$

Сплошными линиями на рисунке показаны границы раздела (18) парамагнитной фазы ВЗП и «экситонного антиферромагнетизма» для $\pi e T_s / 2\gamma w = 0.5$ при $\pi e (T_s - T_t) / 2\gamma w = 10^{-1}$, $5 \cdot 10^{-2}$ и 10^{-2} (линии 1, 2, 3 соответственно). Нетрудно видеть, что с уменьшением разности $T_s - T_t$ линия фазовых переходов второго рода приближается к границе области существования (17), на которой $\beta_1 = \beta_2 - \beta_3^2/\alpha_A$.

Интересно отметить, что рассматриваемая модель допускает также антиферромагнитные фазовые переходы первого рода. С этой целью подробнее рассмотрим случай $T_s = T_t$, когда $\Theta = T_s$. Тогда из (15) получаем $\Delta_t^2 = \Delta_s^2$; однако правее точки C , находящейся на пересечении прямой $T = T_s$ и границы $\beta_1 = \beta_2 - \beta_3^2/\alpha_A$, возникновение состояния «экситонного антиферромагнетизма» энергетически выгодно не при $T = T_s$, а на границе области существования, которая является, таким образом, линией фазовых переходов первого рода

$$\frac{7\zeta(3)}{24} = -\frac{N'^2(0)}{N''(0)N(0)} \frac{T_{N_I}^2}{T_{N_I}^2 - T_A^2} \ln^2 \frac{2\gamma w}{\pi e T_{N_I}}. \quad (19)$$

О первом роде антиферромагнитного перехода свидетельствует скачкообразное появление параметров порядка Δ_s и Δ_t

$$\Delta_s^2(T_{N_1}) = \frac{\alpha(T_s - T_{N_1})}{2\beta_1}, \quad \Delta_t(T_{N_1}) = \frac{\beta_1 - \beta_2}{\beta_3} \Delta_s^2(T_{N_1}).$$

Приведенные выше результаты качественно не изменяются и в том случае, если в разложении Ландау свободной энергии удерживать члены более высокого порядка малости. В частности, следующие по порядку величины члены имеют вид

$$\frac{1}{3} \gamma_1 (\Delta_s^6 + \Delta_t^6) + \gamma_2 (\Delta_s^2 + \Delta_t^2) \Delta_s^2 \Delta_t^2 + \gamma_3 \Delta_A^2 (\Delta_s^2 + \Delta_t^2) + 2\gamma_4 \Delta_s \Delta_t \Delta_A (\Delta_s^2 + \Delta_t^2), \quad (20)$$

где

$$\gamma_4 = -\frac{N'(0)}{N(0)} \frac{7\zeta(3)}{4(\pi T)^2}, \quad \gamma_3 = -\frac{N''(0)}{2N(0)} \ln \frac{2\gamma w}{\pi e^\delta T}, \quad \delta = \frac{3}{2} + \frac{N(0)}{N''(0)w}$$

(выражения для коэффициентов γ_1, γ_2 приведены в [12], поэтому мы их не выписываем). Тогда при $\alpha_s = \alpha_t$, выигрыш в свободной энергии, обусловленный переходом в антиферромагнитное состояние, в окрестности точки C описывается выражением

$$\delta F = -\frac{\alpha_s^2}{4\beta_1^2} \left\{ \beta_1 - \beta_2 + \frac{\beta_3^2}{\alpha_A} - \frac{\alpha_s}{\beta_1} \left(\gamma_1 - \gamma_2 - \frac{\gamma_3 \beta_3^2}{\alpha_A^2} + 2 \frac{\gamma_4 \beta_3}{\alpha_A} \right) \right\}, \quad (21)$$

Отсюда следует, что с учетом добавки (20) уравнение для температуры Нееля фазового перехода первого рода имеет вид

$$\beta_1 \left(\beta_1 - \beta_2 + \frac{\beta_3^2}{\alpha_A} \right) - \alpha_s \left(\gamma_1 - \gamma_2 - \frac{\gamma_3 \beta_3^2}{\alpha_A^2} + 2 \frac{\gamma_4 \beta_3}{\alpha_A} \right) = 0 \quad (22)$$

и отличается от (19) слагаемым, пропорциональным α_s . Аналогичным образом изменяется и уравнение, определяющее $T_{N_{II}}$

$$\beta_1 \frac{T_s - T_t}{T_s - T_{N_{II}}} = \beta_1 - \beta_2 + \frac{\beta_3^2}{\alpha_A} - \frac{\alpha_s}{\beta_1} \left(\gamma_1 - \gamma_2 - \frac{\gamma_3 \beta_3^2}{\alpha_A^2} + 2 \frac{\gamma_4 \beta_3}{\alpha_A} \right). \quad (23)$$

Отметим, наконец, что учет членов (20) устраниет также нефизическую необходимость параметров порядка (и свободной энергии) вблизи внутренней границы области (17).

3. О б с у ж д е н и е р е з у л ь т а т о в

В связи с антиферромагнетизмом окислов ванадия в работе [14] указывалось, что магнитный момент единицы объема не возникает и при сосуществующих ВЗП и ВСП, сдвинутых по фазе на $\pi/2$. В терминах изотопических операторов это обстоятельство является следствием антикоммутативности матриц τ_1 и τ_2 , определяющих добавку $\Delta_s \tau_1 + \Delta_t (\mathbf{P}\sigma) \tau_2$ к одиночному гамильтониану. Уравнение баланса числа электронов получается из (8) заменой $\varepsilon_\pm \rightarrow \varepsilon = \sqrt{\xi_\pm^2 + \Delta_s^2 + \Delta_t^2}$ и $\delta\mu_\pm \rightarrow \delta\mu$. Подобное вырождение спектра одиночественных возбуждений по сравнению с «экзитонным антиферромагнетиком» приводит к тому, что за вычетом членов $\alpha_s \Delta_s^2$ и $\alpha_t \Delta_t^2$ разложение функционала Ландау свободной энергии для соизмеримых ВСП и ВЗП является разложением по степеням суммы $\Delta_s^2 + \Delta_t^2$. В результате уравнения для параметров порядка имеют решение лишь при $T_s = T_t$, что существенно сужает, очевидно, возможности применения такой модели для объяснения свойств реальных антиферромагнетиков с ВЗП и, в частности, фаз Магнелли.

В то же время при любых T_s и T_t корректный учет вклада индуцированного двухзонного антиферромагнетизма, приводящего, согласно (13) и

(9), к дополнительному понижению энергии основного состояния системы, показывает возможность существования однофазных сопротивимых ВЗП и ВСП по крайней мере в высокотемпературной области, где справедливо разложение (9), (20). Вопрос о том, какие из двух ($\gamma=0$ или $\pi/2$) ВЗП и, ниже T_N , ВСП реализуются, зависит от соотношения вершин θ_1 и θ_2 (см. (6)). В простейшем случае, когда $q=1/2 G$ (G — вектор обратной решетки), неинвариантность вершины \hat{F} относительно вращений в плоскости XY изотопического пространства отражает энергетическую неэквивалентность волн плотности, максимумы амплитуды которых приходятся на узлы и междуузлия кристаллической решетки. Такая неэквивалентность снимается для несоизмеримых структур, что в отсутствие линнинга волн плотности примесями приводит, в частности, к появлению безактивационной фазовой (или трансляционной) моды спиновых волн [17, 18].

Представленная модель не учитывает особенностей микроскопической структуры окислов ванадия и потому неприменима для описания антиферромагнитных свойств этих соединений. С другой стороны, в работах [13, 14], где была построена такая феноменологическая теория, исключалась из рассмотрения двухзонный параметр порядка Δ_A . Непосредственным сравнением соответствующих выражений для величин Δ_s^2 и Δ_A^2 нетрудно, однако, убедиться, что выводы феноменологической теории [13, 14] остаются справедливыми с точностью до перенормировки коэффициента β_2 , под которым следует понимать величину $\beta_2 - \beta_3^2/\alpha_4$. При учете членов более высокого порядка малости в разложении свободной энергии перенормировка затрагивает также коэффициент γ_2 .

С п и с о к л и т е р а т у р ы

- [1] Куликов Н. И., Тугушев В. В. // УФН. 1984. Т. 144. № 4. С. 643—680.
- [2] Куллатов Э. Т., Куликов Н. И., Тугушев В. В. // Тр. Ин-та общ. физ. 1986. № 3. С. 122—142.
- [3] Ахиезер И. А., Бараник Е. А. // Металлофизика. 1986. Т. 8. № 3. С. 3—21.
- [4] Силин В. П. // Препринт ФИАН № 141. М., 1982. 27 с.
- [5] Козлов А. Н., Максимов Л. А. // ЖЭТФ. 1965. Т. 48. № 4. С. 1184—1193.
- [6] Fedders P. A., Martin P. C. // Phys. Rev. 1966. V. 143. N 1. P. 245—259.
- [7] Ахиезер И. А., Чудновский Е. М. // ФТТ. 1975. Т. 17. № 7. С. 1907—1913.
- [8] Силин В. П., Солонцов А. З. // ЖЭТФ. 1977. Т. 73. № 3. С. 1073—1084.
- [9] Уайт Р. Квантовая теория магнетизма: Пер. с англ. М., 1985. 304 с.
- [10] Волков Б. А., Копаев Ю. В., Русинов А. И. // ЖЭТФ. 1975. Т. 68. № 5. С. 1899—1914.
- [11] Волков Б. А., Русинов А. И., Тимеров Р. Х. // ЖЭТФ. 1976. Т. 70. № 3. С. 1130—1141.
- [12] Волков Б. А., Тугушев В. В. // ЖЭТФ. 1979. Т. 77. № 5. С. 2104—2116.
- [13] Копаев Ю. В., Мокров В. Г. // ДАН СССР. 1982. Т. 264. № 6. С. 1370—1374.
- [14] Idlis B. G., Koraev Yu. V. // Sol. St. Comm. 1983. V. 45. N 3. P. 301—304.
- [15] Абрикосов А. А., Горьков Л. П., Дзялошинский И. Е. Методы квантовой теории поля в статистической физике. М., 1962. 443 с.
- [16] Rice T. M. // Phys. Rev. B. 1970. V 2. N 9. P. 3619—3630.
- [17] Ахиезер И. А., Бараник Е. А. // ФММ. 1984. Т. 57. № 4. С. 658—670.
- [18] Psaltakis G. C. // Sol. St. Comm. 1984. V. 51. N 7. P. 535—538.

Харьковский государственный
университет им. А. М. Горького
Харьков

Поступило в Редакцию
26 декабря 1988 г.
В окончательной редакции
25 апреля 1989 г.